

# Lista 3 - PTC-5719 Identificação de Sistemas

Mateus Chiqueto dos Santos

Junho 2025

## 1 a

Para plotar os sinais utilizaremos o código abaixo.

Listing 1: Geração e comparação de sinais PRBS

```
1 N = 1001;
2 Amplitude = 0.1;
3 T_amostragem = 1;
4 Tb_lento = 20 * T_amostragem;
5 u_prbs_lento_raw = idinput(N, 'prbs', [0 1/(Tb_lento/T_amostragem)], [-1 1]);
6 sinal_prbs_lento = u_prbs_lento_raw * Amplitude;
7 Tb_rapido = 4 * T_amostragem;
8 u_prbs_rapido_raw = idinput(N, 'prbs', [0 1/(Tb_rapido/T_amostragem)], [-1 1]);
9 sinal_prbs_rapido = u_prbs_rapido_raw * Amplitude;
10 tempo = (0:N-1) * T_amostragem;
11 figure;
12 stairs(tempo, sinal_prbs_lento, 'b', 'DisplayName', 'PRBS Lento (T_b = 20s)');
13 hold on;
14 stairs(tempo, sinal_prbs_rapido, 'r--', 'DisplayName', 'PRBS R pido (T_b = 4s)');
15 title('Compara o de Sinais PRBS: Lento vs. R pido');
16 xlabel('Tempo (s)');
17 ylabel('Amplitude');
18 ylim([-0.12 0.12]);
19 grid on;
20 legend('show');
21 hold off;
```

Segue na figura 1 os sinais plotados no mesmo gráfico. Pela figura 1 podemos notar que o PRBS rápido gera muitos mais sinais do que o lento, mesmo com a mesma amplitude, o PRBS rápido pode captar comportamento mais complexo do processo por gerar mais dados em pequeno espaço de tempo.

## 2 b

Para gerarmos a resposta do processo ao PRBS Lento utilizaremos somente o Matlab, segue o código abaixo.

Listing 2: Resposta ao processo com PRBS lento

```
1 K = 3;
2 tau = 10; % s
3 theta = 5; % s
4 T_amostragem = 1;
5 Ts = T_amostragem;
6 K_pert1 = 1;
7 tau_pert1 = 5;
8 K_pert2 = 2;
9 tau_pert2_1 = 5;
10 tau_pert2_2 = 10;
11 variancia_baixa = 0.001;
12 variancia_alta = 0.1;
```

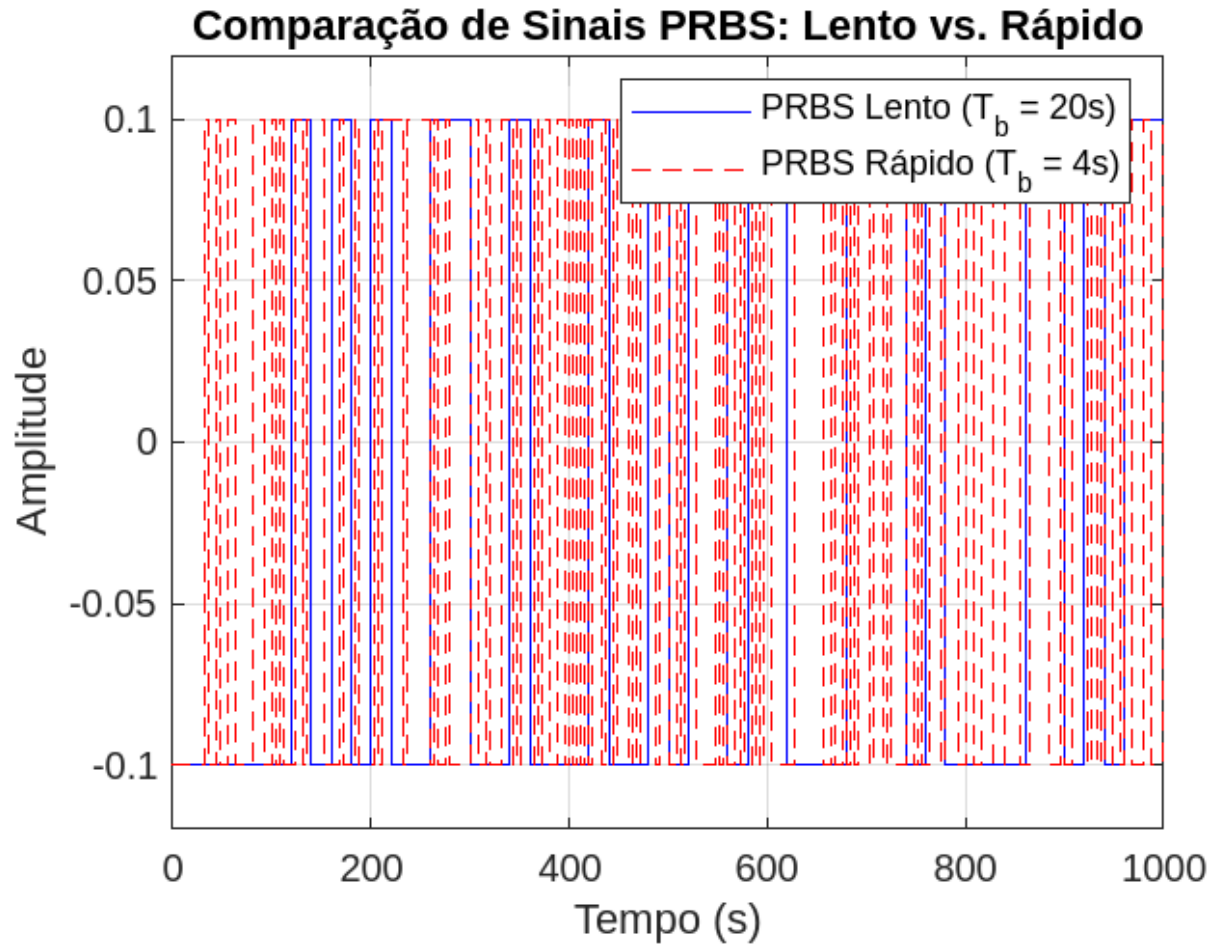


Figure 1: Comparação de sinais PRBS lento e rápido.

```

13 variancia_ruido_medicao = 1e-6;
14 tempo_simulacao = 1000;
15 num_pontos = tempo_simulacao / Ts + 1;
16 tempo = (0:Ts:tempo_simulacao)';
17 Amplitude_prbs = 0.1;
18 Tb_lento_Ex1 = 20 * Ts;
19 u_prbs_lento_raw = idinput(num_pontos, 'prbs', [0 1/(Tb_lento_Ex1/Ts)], [-1 1])
    ;
20 u_prbs_lento = u_prbs_lento_raw * Amplitude_prbs;
21 sys_c = tf(K, [tau 1], 'InputDelay', theta);
22 sys_d = c2d(sys_c, Ts, 'zoh');
23 [num_d, den_d] = tfdata(sys_d, 'v');
24 sys_pert1_c = tf(K_pert1, [tau_pert1 1]);
25 sys_pert1_d = c2d(sys_pert1_c, Ts, 'zoh');
26 [num_pert1_d, den_pert1_d] = tfdata(sys_pert1_d, 'v');
27 den_pert2_c = conv([tau_pert2_1 1], [tau_pert2_2 1]);
28 sys_pert2_c = tf(K_pert2, den_pert2_c);
29 sys_pert2_d = c2d(sys_pert2_c, Ts, 'zoh');
30 [num_pert2_d, den_pert2_d] = tfdata(sys_pert2_d, 'v');
31 rng(1001);
32 e_v1_baixa_seq = randn(num_pontos, 1) * sqrt(variancia_baixa);
33 rng(1002);
34 e_v2_baixa_seq = randn(num_pontos, 1) * sqrt(variancia_baixa);
35 rng(1003);
36 e_medicao_baixa_seq = randn(num_pontos, 1) * sqrt(variancia_ruido_medicao);
37 rng(2001);
38 e_v1_alta_seq = randn(num_pontos, 1) * sqrt(variancia_alta);

```

```

39 rng(2002);
40 e_v2_alta_seq = randn(num_pontos, 1) * sqrt(variancia_alta);
41 rng(2003);
42 e_medicao_alta_seq = randn(num_pontos, 1) * sqrt(variancia_ruido_medicao);
43 y_limpa = zeros(num_pontos, 1);
44 y_baixa = zeros(num_pontos, 1);
45 y_alta = zeros(num_pontos, 1);
46 states_proc_limpa = zeros(max(length(num_d), length(den_d)) - 1, 1);
47 states_proc_baixa_int = zeros(max(length(num_d), length(den_d)) - 1, 1);
48 states_proc_alta_int = zeros(max(length(num_d), length(den_d)) - 1, 1);
49 states_pert1_baixa = zeros(max(length(num_pert1_d), length(den_pert1_d)) - 1,
    1);
50 states_pert2_baixa = zeros(max(length(num_pert2_d), length(den_pert2_d)) - 1,
    1);
51 states_pert1_alta = zeros(max(length(num_pert1_d), length(den_pert1_d)) - 1, 1)
    ;
52 states_pert2_alta = zeros(max(length(num_pert2_d), length(den_pert2_d)) - 1, 1)
    ;
53 for i = 1:num_pontos
54     u_curr = u_prbs_lento(i);
55     [y_limpa_curr, states_proc_limpa] = filter(num_d, den_d, u_curr,
        states_proc_limpa);
56     y_limpa(i) = y_limpa_curr;
57     [v1_baixa_curr, states_pert1_baixa] = filter(num_pert1_d, den_pert1_d,
        e_v1_baixa_seq(i), states_pert1_baixa);
58     [v2_baixa_curr, states_pert2_baixa] = filter(num_pert2_d, den_pert2_d,
        e_v2_baixa_seq(i), states_pert2_baixa);
59     y_baixa(i) = y_limpa(i) + v1_baixa_curr + v2_baixa_curr +
        e_medicao_baixa_seq(i)
60     [v1_alta_curr, states_pert1_alta] = filter(num_pert1_d, den_pert1_d,
        e_v1_alta_seq(i), states_pert1_alta);
61     [v2_alta_curr, states_pert2_alta] = filter(num_pert2_d, den_pert2_d,
        e_v2_alta_seq(i), states_pert2_alta);
62     y_alta(i) = y_limpa(i) + v1_alta_curr + v2_alta_curr + e_medicao_alta_seq(i)
        );
63 end
64 figure;
65 plot(tempo, y_limpa, 'b', 'DisplayName', 'Sa da Y Limpa');
66 hold on; % Permite adicionar m ltiplos plots      mesma figura
67 plot(tempo, y_baixa, 'r', 'DisplayName', 'Sa da Y com Baixa Perturba o');
68 plot(tempo, y_alta, 'g', 'DisplayName', 'Sa da Y com Alta Perturba o');
69 title('Resposta do Processo ao PRBS Lento');
70 xlabel('Tempo (s)');
71 ylabel('Sa da Y');
72 legend('show');
73 grid on;
74 hold off;

```

Após rodar a simulação temos o gráfico com as respostas na figura 2.

### 3 c

Os resultados da validação cruzada está na tabela 1.

### 4 d

Os resultados da validação cruzada para PRBS rápido estão na tabela 2. Podemos notar que os resultados pioraram, modelos identificados com excitação degrau tendem a validar melhor com sinais de excitação mais lentos e podemos concluir que ruídos intensos prejudicam o ajuste.

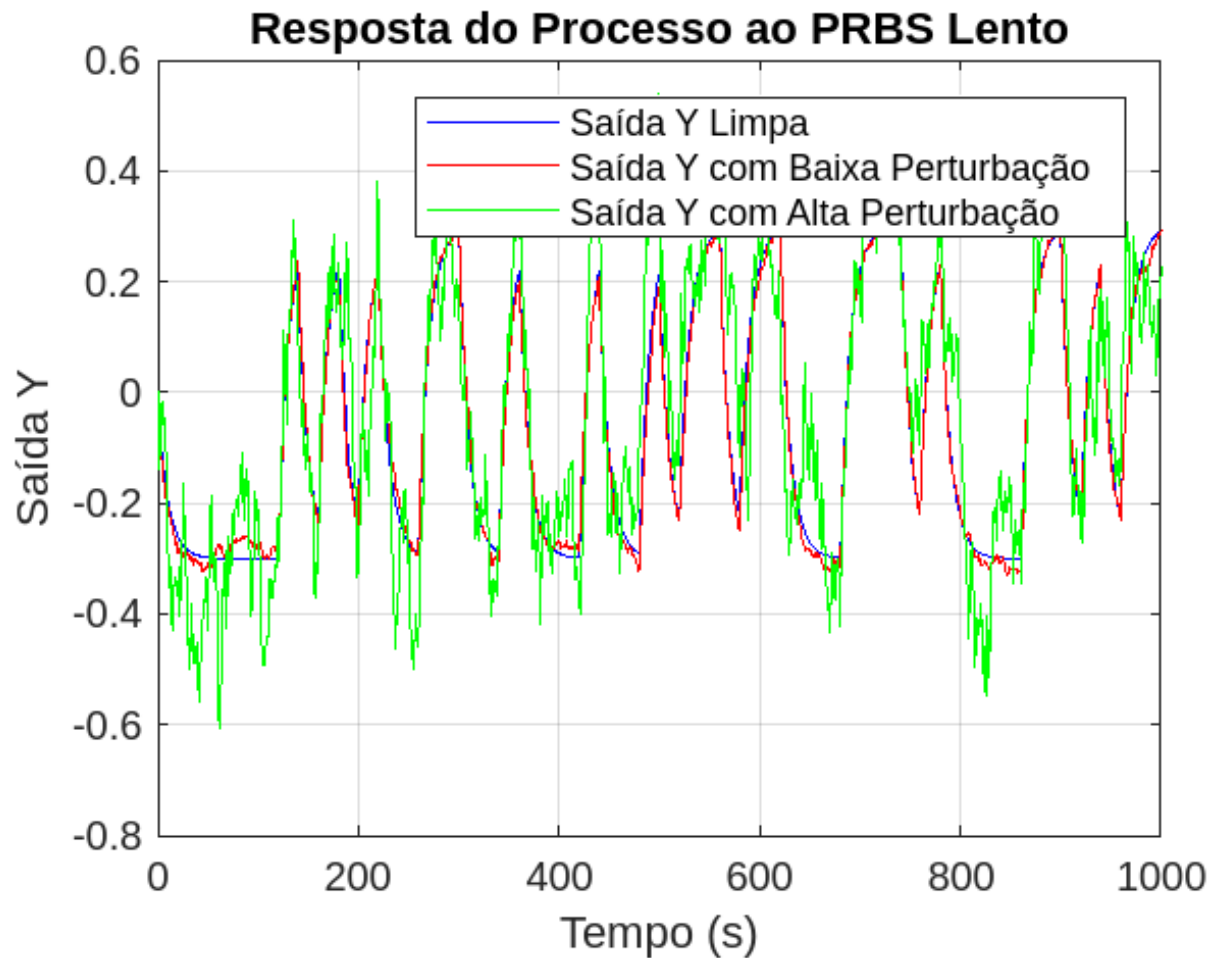


Figure 2: Resposta do processo ao PRBS lento.

Table 1: Resultados dos Valores de Fit (PRBS Lento)

Modelo	Saída Limpa	Perturbação Baixa	Perturbação Alta
<b>FIR</b>	-0.2564	-0.2179	-0.0671
<b>ARX</b>	76.6297	68.6780	7.6102
<b>ARMAX</b>	85.7920	74.4995	7.8724
<b>OE</b>	89.2854	76.3374	7.8798
<b>BJ</b>	89.0361	76.2129	7.9131

Table 2: Resultados dos Valores de Fit (PRBS Rápido)

Modelo	Saída Limpa	Perturbação Baixa	Perturbação Alta
<b>FIR</b>	1.8356	1.0116	-0.0259
<b>ARX</b>	-18.2354	-10.9673	-0.3665
<b>ARMAX</b>	-15.4365	-9.6248	-0.4172
<b>OE</b>	-28.2880	-18.2022	-0.7196
<b>BJ</b>	-23.0156	-14.6094	-0.5862

## 5 e

Neste caso o código de Matlab abaixo gera as simulações e na tabela 3 e 4 temos os modelos gerados para PRBS lento e rápido, respectivamente.

Listing 3: Código para aproximação ao processo com PRBS lento

```

1 na = 1; nb = 1; nf = 1; nc = 2; nd = 2; nk = 5;
2
3 % ARX
4 model_arx_baixa = arx(data_baixa, [na nb nk]);
5 model_arx_alta = arx(data_alta, [na nb nk]);
6 % ARMAX
7 model_armax_baixa = armax(data_baixa, [na nb nc nk]);
8 model_armax_alta = armax(data_alta, [na nb nc nk]);
9 % OE
10 model_oe_baixa = oe(data_baixa, [nb nf nk]);
11 model_oe_alta = oe(data_alta, [nb nf nk]);
12 % BJ
13 model_bj_baixa = bj(data_baixa, [nb nc nd nf nk]);
14 model_bj_alta = bj(data_alta, [nb nc nd nf nk]);

```

Table 3: Modelos de Identificação para Baixa Intensidade

Modelo	Função de Transferência	Ajuste (Fit)	FPE
<b>ARX</b>	$\frac{B(z)}{A(z)} = \frac{0.2739z^{-5}}{1-0.8523z^{-1}}$	59.27%	0.003765
<b>ARMAX</b>	$\frac{B(z)}{A(z)} = \frac{0.2573z^{-5}}{1-0.9337z^{-1}}$ com ruído $\frac{C(z)}{A(z)} = \frac{1-0.8648z^{-1}-0.04987z^{-2}}{1-0.9337z^{-1}}$	68.64%	0.00224
<b>OE</b>	$\frac{B(z)}{F(z)} = \frac{0.2573z^{-5}}{1-0.933z^{-1}}$	68.53%	0.00224
<b>BJ</b>	$\frac{B(z)}{F(z)} = \frac{0.2574z^{-5}}{1-0.9338z^{-1}}$ com ruído $\frac{C(z)}{D(z)} = \frac{1-0.7685z^{-1}-0.1743z^{-2}}{1-0.8364z^{-1}-0.1253z^{-2}}$	68.65%	0.002253

Table 4: Modelos de Identificação para Alta Intensidade

Modelo	Função de Transferência	Ajuste (Fit)	FPE
<b>ARX</b>	$\frac{B(z)}{A(z)} = \frac{0.3894z^{-5}}{1-0.05211z^{-1}}$	0.3029%	0.2146
<b>ARMAX</b>	$\frac{B(z)}{A(z)} = \frac{0.2401z^{-5}}{1-0.9404z^{-1}}$ com ruído $\frac{C(z)}{A(z)} = \frac{1-0.9716z^{-1}+0.02168z^{-2}}{1-0.9404z^{-1}}$	4.224%	0.1987
<b>OE</b>	$\frac{B(z)}{F(z)} = \frac{0.2403z^{-5}}{1-0.9409z^{-1}}$	4.147%	0.1977
<b>BJ</b>	$\frac{B(z)}{F(z)} = \frac{0.3223z^{-5}}{1+0.8411z^{-1}}$ com ruído $\frac{C(z)}{D(z)} = \frac{1+0.2438z^{-1}-0.6528z^{-2}}{1+0.1851z^{-1}-0.7364z^{-2}}$	0.7211%	0.215

## 6 f

Segue abaixo o código para realização da validação cruzada com os 400 pontos finais. A partir disso temos na tabela 5 os resultados e nota-se que a aproximação FIR obteve o melhor resultado para ambos casos, lento e rápido. Igualmente nos exercícios anteriores a aproximação à resposta do processo ao PRBS alto tem qualidade menor que o lento.

Listing 4: Validação Cruzada aos 400 pontos finais

```

1 N_val = 400;
2 u_val = u_prbs(end-N_val+1:end);
3 y_baixa_val = y_baixa(end-N_val+1:end);
4 y_alta_val = y_alta(end-N_val+1:end);
5 data_baixa_val = iddata(y_baixa_val, u_val, T);

```

```

6 data_alta_val = iddata(y_alta_val, u_val, T);
7 [~, fit_baixa_fir] = compare(data_baixa_val, model_fir_baixa);
8 [~, fit_baixa_arx] = compare(data_baixa_val, model_arx_baixa);
9 [~, fit_baixa_armax] = compare(data_baixa_val, model_armax_baixa);
10 [~, fit_baixa_oe] = compare(data_baixa_val, model_oe_baixa);
11 [~, fit_baixa_bj] = compare(data_baixa_val, model_bj_baixa);
12 [~, fit_alta_fir] = compare(data_alta_val, model_fir_alta);
13 [~, fit_alta_arx] = compare(data_alta_val, model_arx_alta);
14 [~, fit_alta_armax] = compare(data_alta_val, model_armax_alta);
15 [~, fit_alta_oe] = compare(data_alta_val, model_oe_alta);
16 [~, fit_alta_bj] = compare(data_alta_val, model_bj_alta);
17 fit_table = table( ...
18     [fit_baixa_fir; fit_alta_fir], ...
19     [fit_baixa_arx; fit_alta_arx], ...
20     [fit_baixa_armax; fit_alta_armax], ...
21     [fit_baixa_oe; fit_alta_oe], ...
22     [fit_baixa_bj; fit_alta_bj], ...
23     'VariableNames', {'FIR','ARX','ARMAX','OE','BJ'}, ...
24     'RowNames', {'Baixa','Alta'} ...
25 );
26 disp(' ndices fit (%) para valida o cruzada nos 400 pontos finais:');
27 disp(fit_table);

```

Table 5: Índices fit (%) para validação cruzada nos 400 pontos finais

	FIR	ARX	ARMAX	OE	BJ
Baixa	70.686	52.698	68.407	68.234	68.562
Alta	7.1226	-0.35981	5.9753	5.9681	6.2351

## 7 g

Para este caso, abaixo temos o código de matlab que realiza os cálculos e na tabela6 os índices fit.

Listing 5: Validação Cruzada ao degrau

```

1 T = 1; % Intervalo de amostragem
2 N_deg = 600; % Dura o da simula o (600 s)
3 u_deg = zeros(N_deg,1);
4 u_deg(276:end) = 0.1; % Degrau de 0.1 em t=275s ( ndice 276)
5 t_deg = (0:N_deg-1)*T;
6 K = 3; tau = 10; theta = 5;
7 s = tf('s');
8 G = K*exp(-theta*s)/(tau*s + 1);
9 Gd = c2d(G, T, 'zoh');
10 % Sementes iguais s dos itens anteriores
11 rng(10); v1_baixa = sqrt(0.001)*randn(N_deg,1);
12 rng(20); v2_baixa = sqrt(0.001)*randn(N_deg,1);
13 rng(30); v1_alta = sqrt(0.1)*randn(N_deg,1);
14 rng(40); v2_alta = sqrt(0.1)*randn(N_deg,1);
15 rng(100); e_med = sqrt(1e-6)*randn(N_deg,1);
16 % Sa da limpa (sem perturba o nem ru do)
17 y_limpo = lsim(Gd, u_deg, t_deg);
18 % Sa da com perturba es de baixa intensidade
19 y_baixa = lsim(Gd, u_deg, t_deg) + v1_baixa + v2_baixa + e_med;
20 % Sa da com perturba es de alta intensidade
21 y_alta = lsim(Gd, u_deg, t_deg) + v1_alta + v2_alta + e_med;
22 data_baixa_deg = iddata(y_baixa, u_deg, T);
23 data_alta_deg = iddata(y_alta, u_deg, T);
24 % Valida o para perturba o baixa
25 [~, fit_baixa_fir] = compare(data_baixa_deg, model_fir_baixa);

```

```

26 [~, fit_baixa_arx] = compare(data_baixa_deg, model_arx_baixa);
27 [~, fit_baixa_armax] = compare(data_baixa_deg, model_armax_baixa);
28 [~, fit_baixa_oe] = compare(data_baixa_deg, model_oe_baixa);
29 [~, fit_baixa_bj] = compare(data_baixa_deg, model_bj_baixa);
30 % Valida o para perturba o alta
31 [~, fit_alta_fir] = compare(data_alta_deg, model_fir_alta);
32 [~, fit_alta_arx] = compare(data_alta_deg, model_arx_alta);
33 [~, fit_alta_armax] = compare(data_alta_deg, model_armax_alta);
34 [~, fit_alta_oe] = compare(data_alta_deg, model_oe_alta);
35 [~, fit_alta_bj] = compare(data_alta_deg, model_bj_alta);
36 fit_table = table( ...
37     [fit_baixa_fir; fit_alta_fir], ...
38     [fit_baixa_arx; fit_alta_arx], ...
39     [fit_baixa_armax; fit_alta_armax], ...
40     [fit_baixa_oe; fit_alta_oe], ...
41     [fit_baixa_bj; fit_alta_bj], ...
42     'VariableNames', {'FIR', 'ARX', 'ARMAX', 'OE', 'BJ'}, ...
43     'RowNames', {'Baixa', 'Alta'} ...
44 )

```

Table 6: Índices fit (%) para validação cruzada ao degrau

	FIR	ARX	ARMAX	OE	BJ
<b>Baixa</b>	38.64	45.153	43.055	43.357	43.071
<b>Alta</b>	5.9538	0.82607	3.8291	3.8207	4.1778

## 8 h

Para calcular e comparar os ganhos estacionários utilizaremos o código de Matlab abaixo. O ganho real do processo é  $K = 3$ . Após rodar o código os resultados estão na tabela 7.

Podemos notar pelos resultados que as aproximações OE, BJ e ARMAX obtiveram ganhos mais próximos ao real em abos os casos, lento e rápido, muito provavelmente por modelarem o ruído.

Listing 6: Ganhos estacionários

```

1 getGain = @(model) dcgain(model); % Usa fun o dcgain do MATLAB
2 gain_fir_baixa = getGain(model_fir_baixa);
3 gain_arx_baixa = getGain(model_arx_baixa);
4 gain_armax_baixa = getGain(model_armax_baixa);
5 gain_oe_baixa = getGain(model_oe_baixa);
6 gain_bj_baixa = getGain(model_bj_baixa);
7 gain_fir_alta = getGain(model_fir_alta);
8 gain_arx_alta = getGain(model_arx_alta);
9 gain_armax_alta = getGain(model_armax_alta);
10 gain_oe_alta = getGain(model_oe_alta);
11 gain_bj_alta = getGain(model_bj_alta);
12
13 gains_baixa = [gain_fir_baixa; gain_arx_baixa; gain_armax_baixa; gain_oe_baixa;
14               gain_bj_baixa];
15 gains_alta = [gain_fir_alta; gain_arx_alta; gain_armax_alta; gain_oe_alta;
16              gain_bj_alta];
17 modelos = {'FIR'; 'ARX'; 'ARMAX'; 'OE'; 'BJ'};
18 T_ganho = table(gains_baixa, gains_alta, ...
19               'RowNames', modelos, ...
20               'VariableNames', {'Ganho_Baixa', 'Ganho_Alta'});
21 disp('Ganho estacion rio dos modelos:');
22 disp(T_ganho);
23 fprintf('Ganho real do processo: %.4f\n', K_real);

```

Table 7: Ganho estacionário dos modelos

	<b>Ganho _ Baixa</b>	<b>Ganho _ Alta</b>
<b>FIR</b>	1.8053	2.4531
<b>ARX</b>	1.9765	0.85635
<b>ARMAX</b>	4.0228	3.9401
<b>OE</b>	4.0149	3.9436
<b>BJ</b>	4.0223	3.9618

## 9 i

Para realizar a validação cruzada porém com PRBS rápido iremos utilizar os mesmos códigos anteriores, porém alterado para PRBS rápido e não lento. Os resultados dos cálculos estão na tabela 8.

Comparando os resultados da tabela 8, referente ao PRBS rápido, e da tabela 6, referente ao PRBS lento, vemos que a aproximação utilizando PRBS lento é mais efetiva, pois todos índices fit foram negativos no caso rápido. Prováveis motivos podem ser pela resposta ao degrau depende de baixas frequências e também por altas frequências não capturarem a dinâmica do modelo.

Table 8: Índices fit (%) para validação cruzada ao degrau (modelos PRBS rápido)

	<b>FIR</b>	<b>ARX</b>	<b>ARMAX</b>	<b>OE</b>	<b>BJ</b>
<b>Baixa</b>	-63.82	-46.644	-48.417	-49.741	-47.696
<b>Alta</b>	-2.7046	-7.6856	-7.1626	-7.4187	-7.418

## 10 j

Para o cálculo dos ganhos estacionários o código é semelhante ao utilizado no exercício "i", alterando apenas o PRBS para rápido. Na tabela 9.

Mais uma vez, observando os ganhos estacionários na tabela 7 observamos que os modelos OE e BJ apresentaram os melhores resultados, principalmente no processo com PRBS lento. Com PRBS rápido o modelo tende a variar mais, logo os melhores resultados foram com PRBS lento.

Table 9: Ganho estacionário dos modelos (PRBS rápido)

	<b>Rapido _ Baixa</b>	<b>Rapido _ Alta</b>
<b>FIR</b>	-0.57903	-1.8981
<b>ARX</b>	-0.027989	0.35081
<b>ARMAX</b>	7.5639	0.35787
<b>OE</b>	-0.11955	0.35416
<b>BJ</b>	3.553	0.52081